

NALLİZİYARET TEPE (KEBAN-ELAZIĞ) BAKIR CEVHERLEŞMELERİNİN MİNERALOJİK VE PETROGRAFİK ÖZELLİKLERİ

MINERALOGICAL AND PETROGRAPHICAL FEATURES OF NALLİZİYARET TEPE (KEBAN-ELAZIĞ) COPPER MINERALIZATIONS

Leyla KALENDER, Şahin HANELÇİ

Fırat Üniversitesi, Mühendislik Fakültesi, Jeoloji Mühendisliği Bölümü, 23119, Elazığ

ÖZ: Bu çalışmada, Nallıziyaret Tepe (Keban-Elazığ) Cu mineralizasyonlarının kökenini araştırmak amacıyla mineralojik incelemeler yapılmıştır. İnceleme alanında Keban Metamorfiteri (Permo-Karbonifer) ve Keban magmatitleri (Üst Kretase) olmak üzere iki farklı birim yüzeylemektedir.

Cu mineralizasyonları KB-GD doğrultulu sinjenetik tansiyon kırıkları içerisinde yoğunlaşmaktadır.

Mineralojik incelemelerde, bakır cevherleşmesinin esas mineral topluluğunu, pirit, kalkopirit, molibdenit, geç hematitler, tali mineralerden, galen, sfalerit, enarjıt, lölinjıt, arsenopirit ve ikincil mineralerden ise kovelin, kalkosin, idait, limonit ve bakırın karbonat mineralerleri oluşturmaktır ve zayıf sodik kalsitik potasik alterasyon tipinin varlığını kanıtlamaktadır. Tüm bu mineral topluluğu dissemine bakır yatağında düşük ölçüde sülfidasyon ortamını yansımaktadır.

Sonuç olarak, Nallıziyaret Tepe bakır oluşuklarının Keban magmatitlerine ait siyenit porfirlerle ilişkili olarak olduğu düşünülmektedir.

Anahtar kelimeler: Keban, cevher mikroskopisi, bakır cevherleşmeleri

ABSTRACT: In these study, we investigated the origin of the cooper mineralization in Nallıziyaret Tepe (Keban-Elazığ). Two geological units crop out in the study area. Keban Metamorphites (Permo-Carboniferous) and Keban magmatic rocks (Upper Cretaceous).

According to fracture analysis, copper mineralizations are placed in KB-GD striking singenetic tension fractures.

All these minerals are represented low sodic potassic alteration type and low sulphidation zones in disseminate copper mineralization.

Nallıziyaret Tepe copper mineralization is considered as porphyry type deposit.

Key words: Keban, ore microscopy, copper mineralizations

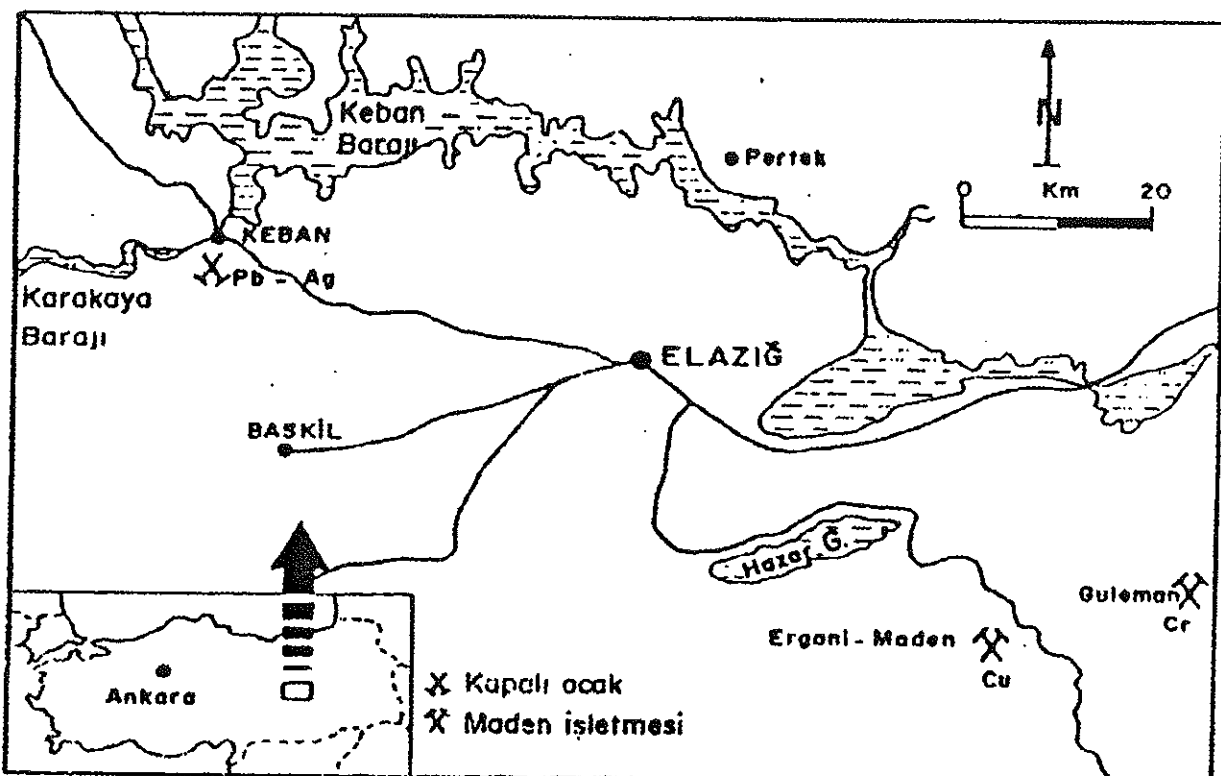
GİRİŞ

İnceleme alanı Elazığ ili Keban İlçe sınırları içe-risinde bulunmaktadır (Şekil 1). Nallıziyaret Tepe civarında gözlenen bakır oluşukları K-G doğrultulu bir kuşak üzerinde gözlenmektedir. Bilinen, cevherleşmeye yönelik ayrıntılı çalışmaların yapılmamış olduğudur. Bu çalışmada, Nallıziyaret Tepe bakır kuşağından sistematiğ olarak alınan sondaj karot örneklerinde cevher mineralojisi ve petrografik çalışmalar yapılmıştır. Çalışmanın amacı elde edilen verilerden yola çıkararak yatağın kökenevine ışık tutmaktadır.

İnceleme alanında bakır cevherleşmelerinin kökenini ortaya çıkarmak amacıyla Nallıziyaret Tepe'de 1977 yılında EİEİ tarafından yapılan toplam 22 adet

sondajın iyi korunmuş olması nedeniyle, kalkıştalar içe-risinde N-5 nolu sondaj karotları ile yüzey kayaçlarından alınan örneklerin mineralojik ve petrografik incelemleri yapılmıştır.

İnceleme alanında Kineş (1969), Köksoy (1975), Kipman (1976), Akıncı (1977), Balçık ve diğ. (1978), Perinçek (1980), Yazgan (1983), Kipman (1982), Bingöl (1982), Dirim ve diğ. (1985), Ulutan (1987), Hanelçi ve diğ. (1989), Öztunalı (1989), Hanelçi (1991), Çalık (1998), Hanelçi (1997 ve 1999), Kalender (2000) tarafından petrografik, jeolojik ve cevherleşmelerin özelliklerini ortaya çıkarmak amacıyla çeşitli çalışmalar yapılmıştır.



Sekil 1. İnceleme alanının yer bulduru haritası.
Figure 1. Location maps of the studied area.

GENEL JEOLOJİ

İnceleme alanında Keban Metamorfitleri (Permo-Karbonifer) ve Keban magmatitleri (Üst Kretase) olmak üzere iki farklı birim yüzeylemektedir. Keban magmatitleri olarak adlandırılan birim alkali siyenit, silenit, kuvars monzonit ve monzonit bileşimli subvolkanik kayaçlar ve bunların yüzey kayaçlarından oluşmaktadır (Kalender, 2000). Cevherleşmeler ile yakın ilişkisi olan Keban Magmatitleri'nin ada yanında gelişen, Elazığ Magmatitlerinin son ürünü olduğu belirtilmektedir (Bingöl ve Beyarslan, 1996). Keban Magmatitleri'nin yaşı derinlik kayaçlarında 82-86 my (Koniasiyen – Santoniyen), subvolkanik kayaçlarında ise 74-80 my (Kampaniyen) olarak bulunmuştur (Yazgan, 1983).

Keban Metamorfitleri, kalkışt (Pkş), rekristalize kireçtaş (Prk), serizit klorit şist (Pskş), laminalı kireçtaş (Lkt), dolomitik kireçtaş (Pdk), ve metatürbidit (Pmt) arakatkılı birimlerden oluşmaktadır (Şekil 2). İnceleme alanının en yaşlı birimini rekristalize kireçtaşları oluşturmaktadır (Şekil 3). Rekristalize kireçtaşları kalkıştler içerisinde olistolitler halinde yer almaktadır (Hanelçi, 1991).

CEVHERLEŞMELER

Bakır cevherleşmesi, Nallıziyaret Tepe'den başlayıp Siftil Tepe'nin doğusundaki yarmalara ve Keban

Dere'nin içeresine kadar devam eden bir zonda yaygın göstermektedir. İnceleme alanında gözlenen bakır cevherleşmeleri Keban magmatitleri ve Keban Metamorfitleri içerisinde saçılımlı ve yer yer damar şeklinde bulunmaktadır.

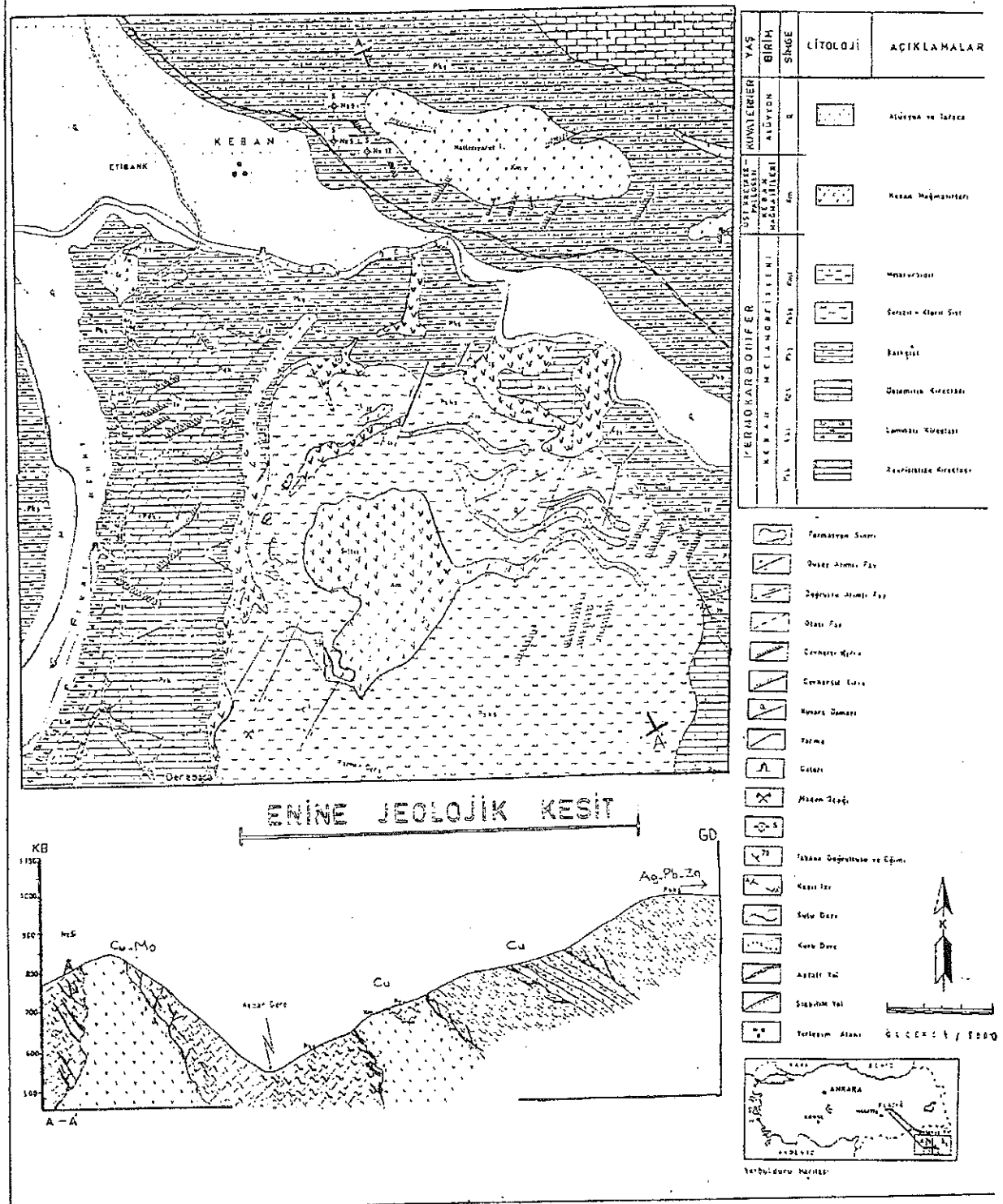
Ana magmatik kayaç geometrisi esasen siyenit porfirlerden oluşmuş olup, tane boyu ve kayaç rengi oluşum sıcaklığı ile oluşum derinliğinin fonksiyonu olarak yer yer değişiklik göstermektedir. Doygun alkali özellik gösteren bu birimler aynı magma serisine aittir. Fakat, farklı fazlarda sokulum yapmıştır (Çalık, 1998).

Ana magmatik kütleyi oluşturan Keban Magmatitleri, Keban Metamorfitleri ile intrüzif dokanak oluşturmaktadır. Bu nedenle yan kayaç alterasyonları yoğun olarak izlenmiştir.

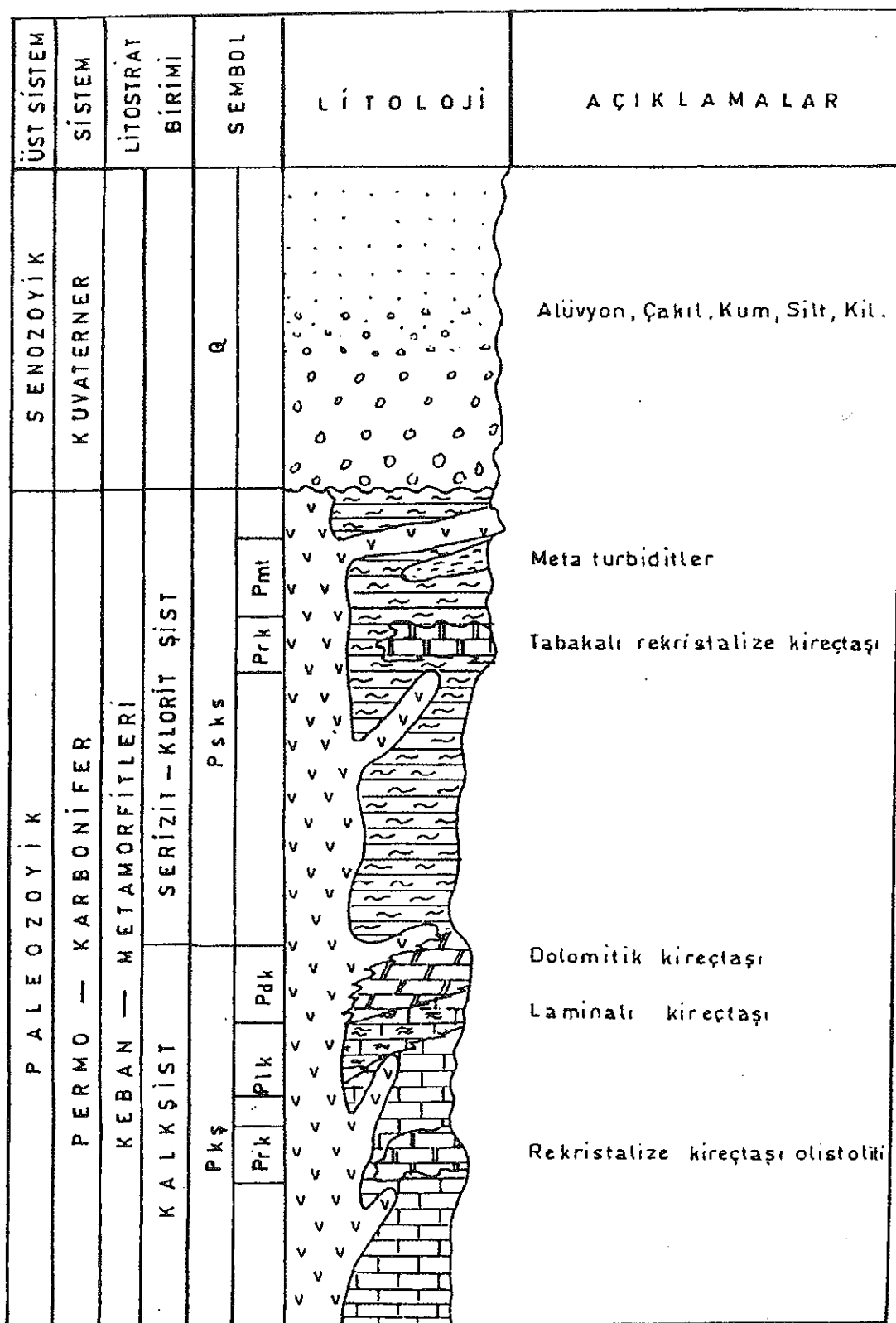
Silisyumca zengin mağmanın yükselmesi sırasında, sıçan deniz sedimanlarından oluşan Keban Metamorfitleri'ne ait serizit klorit şistler ve kalkıştlerden çözülen Cu elementinin, KB-GD doğrultulu, σ_1 (en büyük asal gerilme)'in düşey, σ_3 (en küçük asal gerilme)'nin yatay olduğu magmatizma ile eş yaşlı tansiyon kırıklarının oluşturduğu işnsal kırıklar içerisinde yoğunlaşlığı düşünülmektedir (Kalender, 2000).

Nallıziyaret Tepe'den başlayan yoğun Cu mineralizasyonunun, günüye doğru hidrotermal aktivitasyon-

NALLIZİYARET TEPE (KEBAN -ELAZIĞ) CİVARININ JEOLOJİ HARİTASI



Şekil 2. İnceleme alanının jeoloji haritası.
Figure 2. Geological map of the studied area.



Şekil 3. İnceleme alanının stratigrafik sütun kesiti (ölçeksiz).
Figure 3. Stratigraphical section of the studied area (non-scale).

da yüzeysel işlevlerin daha etkili olduğu Ag, Pb, Zn, cevherleşmelerine geçiş gösterdiği görülmektedir.

Kalkopirit, bakır içeren en önemli cevher minerali olarak bulunmaktadır. Sondaj karot örneklerinde kırık sistemleri içerisinde gelişen kalkopirite sıvamalı örneklerde bol miktarda rastlanmaktadır. Nallıziyaret Tepe'de alt seviyelerde sülfidli bakır mineraleri kalkopirit, enarjit, kovellin, kalkosin, idait ile üst seviyelerde ise bakırın karbonat mineraleri (malahit, azurit) yaygın olarak gözlenmektedir. Nallıziyaret Tepe sondaj karot örneklerinde açıkça gözlenen bu olay, güneyde Siftil Tepe'de üst seviyelerde gözlenen malakitli ve azuritli seviyelerin alt kesimlerinde de bakırı seviyelerin bulunabileceği fikri düştürmektedir.

Mineralojik ve Dokusal Özellikleri

Çalışma alanında gözlenen bakır cevherleşmelerinin mineralojik ve dokusal özelliklerini araştırmak amacıyla 50 parlak kesit, 10 ince kesit hazırlanarak petrografik incelemeleri yapılmıştır. Cevher mikroskopisi Ramdhor (1980)'de belirtilen mineral özelliklerine göre çalışılmıştır.

Cevher mineralerinde üç tip doku türü tespit edilmiştir (Şekil 4). Kalkopiritlerde gözlenen kataklastik doku (Şekil 4a), sfaleritlerde görülen zonlu doku (Şekil 4b), pirit ve kalkopiritlerin alterasyonu sonucu oluşan limonitlerde gözlenen kolloform dokudur.

Kalkopirit (FeCuS_2), parlak sarı ve yeşil gölgeli sarı rengi ile ayrılmaktadır. Hafif (grimsi mavi ve yeşilimsi sarı renkli) anizotropi'ye sahiptir. Lamelli ikizlere çok rastlanmäkla birlikte genellikle eş boy taneli ve öz-şekilli olarak bulunmaktadır. Kataklastik doku hemen her kesitte görülmektedir. Bu doku tipi, tektonik deformasyon sonucu gelişen magma kaynaması ve iç buhar basincının artması ile mineralerin yankayaçtan çözünüp taşınmış olabileceğini yansımaktadır.

Bazı pirit mineralerinin içerisindeki kalkopirit kapanımları, kalkopiritlerin piritlerden önce oluştuğunu işaret etmektedir.

Koyu griden açık griye değişen renklerdeki zonlu yapı sfaleritlerdeki kimyasal bileşim farkından kaynaklanmaktadır. Demirce zengin olanların koyu gri renkli olduğu dikkat çekicidir. Sfaleritlerdeki renk değişikliklerine bağlı olarak gözlenen zonlu yapının sfalerit bileşimindeki, Fe, Cd, Pb ve Cu oranlarından kaynaklanabileceği belirtilmektedir (Craig ve diğ. 1981; Ramdohr, 1980).

Kolloform doku genelikle oksit mineralerinde gözlenmektedir. Oksidasyon zonlarında oksijenin ilave-siyle hacim genişlemesi ve elementlerin yer değişimi sırasında hacim azalması sonucu oluşmaktadır (Ramdohr, 1980). Bu doku türü ortamda çökelmenin hızlı olduğunu ifade etmektedir.

Galen (PbS), beyaz bazen hafif grimsi renkli sertliği kalkopiritten düşük kübik dilinimler ve üçgen şeklindeki çukurlar ile karakteristikdir. Galen ve sfaleritler (ZnS) içerisinde, özsekilli piritler ve arsenopiritler bulunmaktadır.

Enarjit (Cu_3AsS_4) Antimuan (Sb)'ca zengin olanlar kırmızımsı, Arsenik (As)'ce zengin olanlar ise sarımsı renkleri ile belirgindir.

Pirit (FeS_2), incelenen örneklerde krem, açık sarı ve sarımsı beyaz rengi ve yüksek yansımı ile diğer mineralerden daha kolay ayırt edilmektedir. Yüksek sıcaklık ve düşük gerilme basıncında pirotinlerin oluşumu kontakt metasomatik zonun varlığını göstermektedir. Genellikle kalkopirit pirit içerisinde yuvarlak kapanımlar şeklinde olmuştur.

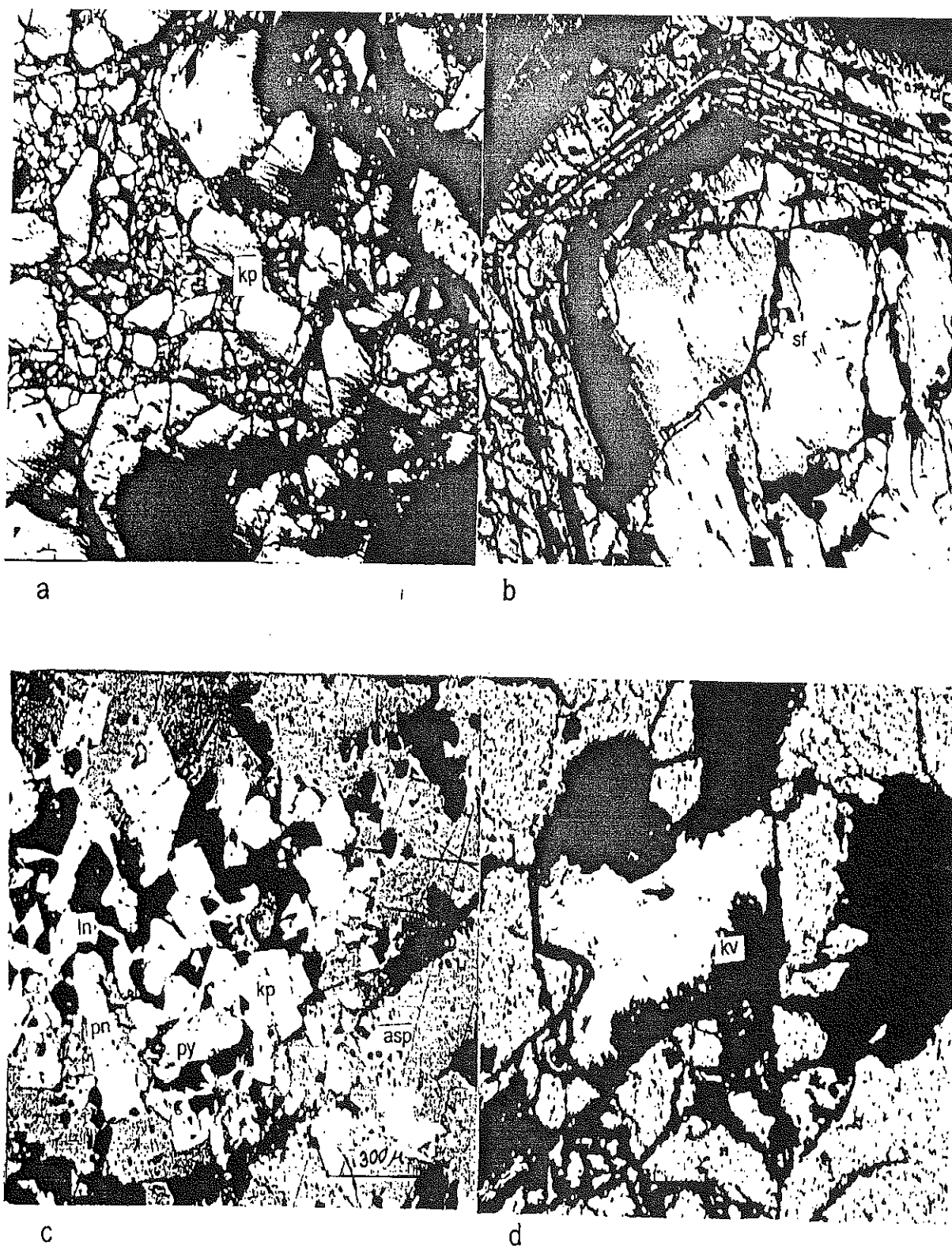
Arsenopirit (AsFeS_2), sfalerit ve galen mineralleri ile birlikte gözlenir, açık krem rengi ve nadir ikizlilikler ile ayırmaktadır (Şekil 4c). Dilinime rastlanmamıştır. Lölinjıt (Fe, Co, Ni As_2 , beyaz bazen açık krem veya yeşilimsi sık sık idiomorf şekilli kristaller halinde bulunmaktadır (Şekil 4c). Kuvarsla florit kontağında gelişen lölinjitter, büyük bir olasılıkla kuvarslarla gelen yüksek sıcaklık mineralerini temsil etmektedir (Ramdohr, 1980).

Molibdenit (MoS_2), koyu gri renkli anizotropisi çok büyük, fakat hafif renklerde oldukça dağılgan rölyefinin düşük olması ile galenden kolay ayırtedilmektedir.

Hematit (Fe_2O_3) ve limonit ($\text{Fe}_2\text{O}_3(\text{OH})$, çatlak sistemleri içerisinde ikincil mineral olarak, pirit ve kalkopiritin dönüşümü sonucu oluşmuşlardır. Hematit ve limonit çoğunlukla şekilsiz yığışlıklar halindedir. Malakitli örneklerde Mn mineralerinin bulunduğu, iki mineralin de ikincil olarak olduğunu ve oksidasyon ürünü oluklarını göstermektedir. Enarjit, kalkopiritlerle dokanak oluşturmaktadır. Ayrıca, kalkopiritlerin bir kısmının etrafi alterasyon ürünleri kovellin, kalkosin tarafından kuşatılmıştır (Şekil 4d). İdait (Cu_5FeS_6), kırmızımsı turuncu ve sarımsı renkleri ile kovellin ve kalkosinden ayrılmaktadır.

Kalender (2000), kalkopiritlerle ilişkili kuvars larda yaptığı sıvı kapanım çalışmalarında kuvarsların oluşum sıcaklığının ortalaması $374\text{-}489^\circ\text{C}$ aralığında değiştiğini, pirit, kalsit ve florit damarlarındaki kalsitlerde oluşum sıcaklığının ortalaması 193°C , floritlerde ise ortalaması 110°C olduğunu belirterek, kalkopiritlerin hidrotermal sistemin katatermal evresinde, kalsit, pirit ve floritlerin ise epitermal evrede oluştuğunu ileri sürmüştür.

Yatağın ana cevher mineral topluluğunu, pirit, kalkopirit, molibdenit, sfalerit, yüksek rölyefli hematit,



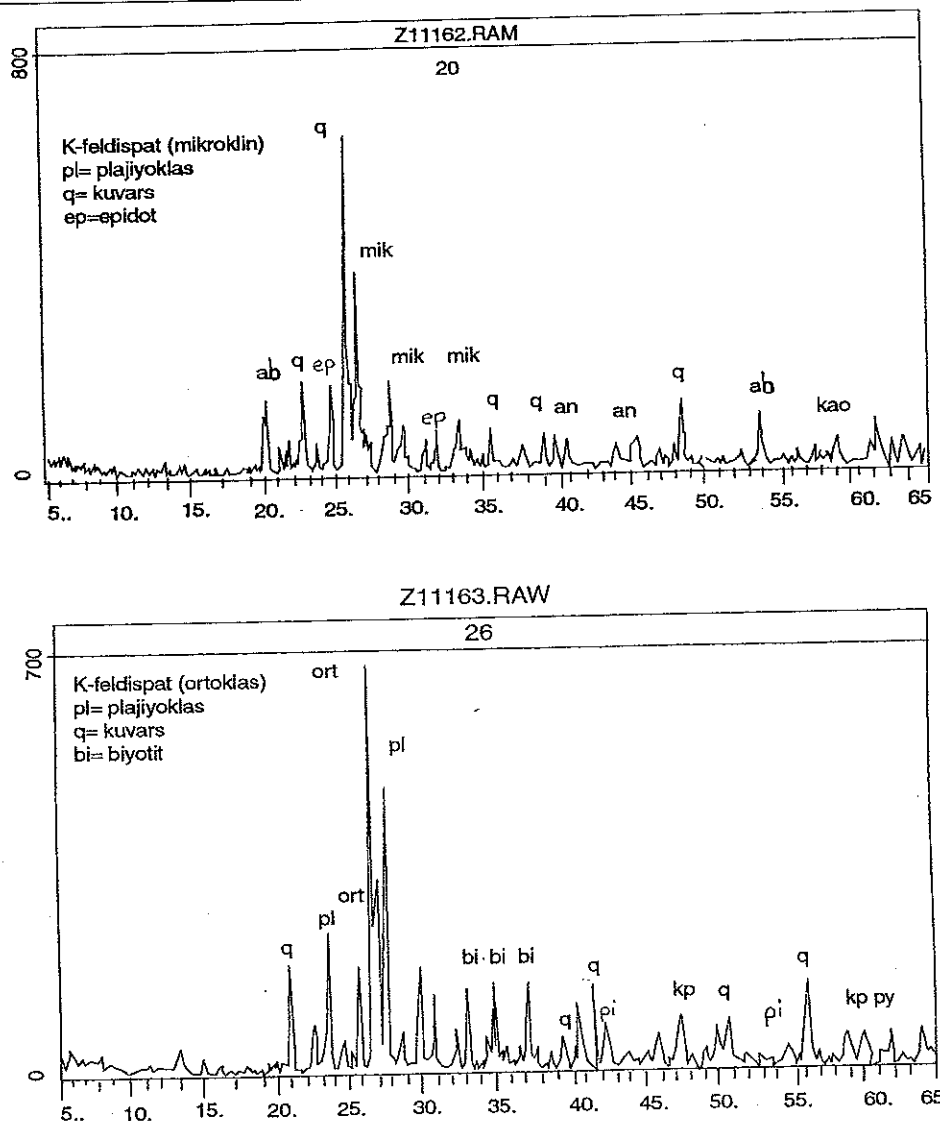
Şekil 4. Cevher mineralerinin dokusal özellikleri. 4a: kalkopiritlerdeki kataklastik doku, 4b: sfaleritlerdeki zonlu doku, 4c: asp: arsenopirit, py: pirit,kp: kalkopirit, ln:lölinjıt, Pn: pirotin , 4d: kovelin , kalkozin dönüştümleri.

Figure 4. Texture features of ore minerals. 4a: Catacalstic texture in chalcopyrites. 4b. Concentric banding in sphalerite. 4c. asp: arcenopyrite, py: pyrite, kp: chalcopyrite, ln: lolingite, pn: pirotit 4d: covellin and chalcocite.

Çizelge 1. Nallıziyaret Tepe N-5 nolu sondaj karot örneklerinin 8 adedinde yapılan XRD sonuçları.

Table 1. XRD values of N-5 drill cores in Nallıziyaret Tepe.

Örn. No.	Son. der. m	K. Felds.	Plajiyoklas	Piroksen	Granat	Kuvars	Biyotit	Epidot	Kao.	Mont.	Florit	Py	Kp.
6-2	48	ortoklas	albit			—					—		
14	56	ortoklas	anortit		grossüler	—					—		
15-1	90	sanidin	anortit			—	—			—			
15-2	100	sanidin	albit	diyopsit		—			—	—			
20	140	mikroklin	albit			—		—	—	—			
26	180	ortoklas	albit	diyopsit		—	—						
36	230	sanidin	albit			—	—						
47	yüzey ör.	mikroklin	albit		—								



Şekil 5. N-5 nolu sondaj karot örneklerine ait XRD diyagramları. Q: kuvars, K-feldispat, Pl: plajiyoklas, Alb: albit, An: anortit, Ep: epidot, Bi: biyotit, Kao: kaolen, Pi: pirit, Kp: kalkopirit.

Figure 5. XRD diagrams of N-5 drill cores. Q: quartz, K-feldspar, Pl: plagiocalcse, Alb: albite, An: anortite, Ep: epidot, Bi: biotite, Kao: kaolinite, Pi: Pyrite, Kp: chalcopyrite.

florit, skarnlarda az manyetit, spekülarit, granat ile wolframit; Az bulunan mineraller, enarjıt, lölinjıt, idait, kovelin, kalkosin, pirotin temsil etmektedir.

ALTERASYONLAR

Hidrotermal alterasyon zonları bilindiği gibi, mineralojik, kimyasal ve dokusal değişimlerin etkin olduğu, değişen fizikokimyasal koşullar altında dengede olan mineral topluluklarını yansımaktadır. İnceleme alanında böyle bir zonun varlığını ortaya çıkarmak amacıyla, 8 magmatik kayaç örneği XRD yöntemiyle analiz edilmiş ve magmatik kayaçlar içerisinde saçınımlı halde bulunan kalkopiritlerin, kuvars, plajiyoklas, ortoklas, az biyotit ve bunların alterasyon ürünleri ile birlilikle sunmuş görülmüştür. Mikroskopik incelemelerde gözlenen opak mineraller (kalkopirit, pirit ve diğ.), siyenitlerde K-feldispatların ve biyotitlerin alterasyonu sonucu gelişen serizitler içerisinde, metamorfik kayaçlarda ise daha çok serizit klorit şistler ile kalkıştalar içerisinde yoğunlaşmıştır. Bu şekilde bir yoğunlaşma, Cu^{2+} 'ın sülfürün yoğun olduğu ortamlarda kendi sülfür minerallerini oluşturmış olabileceğini akla getirmektedir. Kalkıştalar, makroskopik olarak gözlenen dissemine, mavi ve yeşil renkli azurit ve malakit içerir.

İncelenen örneklerde kuvars, plajiyoklas ve K-feldispatın yoğun olduğu siyenitik kayaç topluluğu gözlemlenmiştir (Çizelge 1; Şekil 5). 14, 15-2, 26 no'lu örneklerde granat ve piroksenlerin bulunduğu, skarn zonlarının varlığını belirtmektedir. Cu'ın iyonik yapısı gereğince skarnlarda hadenberjittense, diyopsiti tercih ettiği görülmektedir. Çalık (1998), inceleme alanında başlıca granat(grossular-andradit), klinopiroksen (diyopsit-haddenberjit), vezüviyan (idokraz), volastonitten oluşan skarn minerallerinin varlığına ve epidot, kuvars, fluorit, malakit ve hematitin bu minerallere eşlik ettiğini belirtmiştir. Ancak, porfiri tip yatakların damar tipi ve kontakt metasomatik (skarn) tip yataklara geçiş göterecek bir dikkat çekici bir özelliklektir.

Hidrotermal çözeltilerin yankayaçtan çözümbildikleri maddelelere ek olarak mağmadan gelen ve Na, K, Ca, Mg ve Cu gibi katyonlar ve Cl, SO_4 , HCO_3 gibi anyonları da içerebileceği bu çözeltilerin tamamının magmatik kökenli olmayıp meteorik suların yan kayaçtan (kalkıştalar) çözüldüğü HCO_3 kökleri ile Cu'ın bileşik oluşturmuş olabileceği şeklinde yorumlanabilir. Nallızyaret Tepe Cu cevherleşmelerinin aksine, Siftil Tepe Ag-Pb-Zn zenginleşmelerinin skarn mineralleri; granat, az manyetit, spekülarit ve diyopsitin varlığı ile kontakt metasomatik kökene işaret etmektedir. Kitasal kirlenmeye bağlı olarak gelişen K-feldispat metasomatizması potassik alterasyon kuşağının varlığını göstermektedir. Nallı-

ziyaret Tepe'de, yaygın olarak kuvars, plajiyoklas ve ortoklasın yanında biyotit, epidot, kalkopirit, kalsit, molibdenit, ilmenit, rutil, hematit, diyopsit, apatit, az manyetit, granat, klorit ve piritin varlığı Dilles ve diğ. (1992), Nevada Ann Mason porfiri bakır kuşağındaki kuvars monzonit porfirlerin metasedimanter kayaçlarla ilişkisi açıklärın zayıf sodik potassik hidrotermal alterasyon topluluğunu yansıtmaktadır.

Cevherleşmeyi kontrol eden faktörlerin başında kompleks kırık sistemi gelmektedir. Karbonatça zengin yankayaçlarda meteorik suların varlığı ile pH'ın etkili olduğu Zn ve Mn zenginleşmeleri gözlenmektedir.

İnceleme alanında, Mn minerallerinin yanı sıra barit ve florit varlığı, kalkopirit derişiminin, enarjıt, kovelin, kalkozinden daha çok olması, kalayın yokluğu, manyetitin az, hematitin yaygınlığı, geniş çaplı alterasyonların gözlenmesi, saçınımlı yer yer aşı Cu mineralizasyonlarının, düşük sülfidasyon ortamlarında siyenit porfirlerle ilişkili olarak gelişliğini düşündürmektedir.

SONUÇLAR

Bu makalede Nallızyaret Tepe Cu oluşuklarının kökenine ışık tutmak amacıyla elde edilen veri bulgu ve gözlemler değerlendirilmiştir. Öncelikle jeolojik birimler incelenerek, cevherleşmelerin magmatizmaya bağlı işinsal kırıklar içerisinde yoğunlaşmış gözlenmiştir. İnceleme alanında bakırın en önemli cevher minerali, kalkopirittir. Pirit ve geç hematit yaygındır.

İnceleme alanında, XRD sonuçları ve petrografik incelemeler ile epidot, sfen, oligoklas/albit, K-feldispat, kuvars, biyotit ve piritin varlığı Dilles ve diğ. (1992)'ye göre, hidrotermal alterasyon tipi, sodik kalsitik potassik alterasyon olarak belirlenmiştir.

Baskın kalkopirit derişimi, molibdenin yaygınlığı, sfaleritin azlığı, pirit ve hematitin varlığı düşük sülfidasyon ortamına işaret etmektedir (Eunaudi, 1994). Bu nedenlerden dolayı Cu cevherleşmelerinin, hidrotermal aktivitenin neden olduğu porfiri bakır sistemine bağlı olarak geliştiği, porfiri bakır oluşum özelliklerine uygunluk gösterdiği, yan kayaçın karbonatlı olması sebebiyle kontaktlarda skarnlaşmanın gözlenebileceği düşünlümektedir.

Ada yayı ürünü olan, Keban magmatitlerine ait siyenit porfirlerle ilişkili olarak gelişen Cu mineralizasyonlarının jeolojik konumu, alterasyon tipi, yatağın saçınımlı oluşu, düşük sülfidasyon kuşağının varlığı porfiri bakır fikrini desteklemektedir. Porfiri Cu cevherleşmeleri, Nallızyaret Tepe'den başlayarak güneye doğru yerini, hidrotermal işlevlerde, meteorik suların daha etkili olduğu kontakt metasomatik (skarn) tip Pb, Zn, Ag cevherleşmelerine bırakmaktadır.

SUMMARY

The studied area is located Nallızıyaret Tepe and northern of Keban Dere. The study deals with the geology, mineralogy and petrographical features to investigate origin of copper mineralization.

Two geological units are present in studied area. These are, Keban Metamorphites (Permo-Carboniferous) and magmatic rocks are called Keban magmatic rocks (Upper Createous) by previous workers. This unit consists of alcaline syenite, syenite, quartz syenite, monzonites, quartz monzonites. Metamorphic rocks are represented sericite clorit schist, calc-schist and recrystallized limestone.

According to fracture tectonic, copper mineralization are placed in KB-GD striking syngenetic tension fractures and pyrit, fluorite, and molybdenite mineralizations in shear fractures. Occurrence of sulphides change upward from dissemination and finally vein occurrence indicating effect of structural control.

The major mineral assemblage are made of pyrite, chalcopyrite, molybdenite, late hematite and other minerals which are represented low sodic potassic alteration type and low sulphidation zones along Nallızıyaret Tepe disseminate Copper mineralization.

As a result of copper mineralization origine is considered as porphyry type deposit.

DEĞİNİLEN BELGELER

- Akinci, Ö., Acar, E., ve Tüfekçi, Ş., 1977,** Keban Pb-Zn madeni ön çalışma planı. MTA (yayınlanmamış), 68 s. Ankara.
- Balçık, A., M.Ş. Tüfekçi, M. Koyuncu, Y. Ulutürk., 1978,** Keban madeni Derebaca ve Fırat ocağı geliştirme raporu. MTA Enstitüsü Arşivi (Yayınlanmamış), Ankara.
- Bingöl, A. F., 1982,** Elazığ-Pertek-Kovancılar arası volkanik kayaçlarının petrolojisi. F.U. Fen Fak. Dergisi, 1, 9-21, Elazığ.
- Bingöl, F., Beyarslan, M., 1996,** Elazığ magmatitlerinin jeokimyası ve petrolojisi. KTÜ 30. Yıl Sempozyumu Bildiri Metinleri. Trabzon. 1, 208-226.
- Çalık, A., 1998,** Keban Plutonitleri; mineraloji, petrojevez ve yan kayaç ilişkileri. İ.Ü Fen Bilimleri Enstitüsü, Doktora Tezi, 181 s.
- Craig, R. J., ve Vaughan, J. D., 1981,** Ore microscopy and ore petrography: A Wiley-Interscience publication. 170-175, New-York.
- Dilles, H.J., Solomon, C.G., Taylor, P. H., ve Einaudi, T. M., 1992,** Oxygen and hydrogen isotope characteristics of hydrothermal alteration at the Ann Mason porphyry Copper deposits. Economic Geology, 87, 44-63, Yerington, Nevada.
- Dirim, M.S., Koçak, N., Yiğit, L., Kançın, N., ve Esen, K., 1985,** Keban Fırat batı yakası Mn, Ag, Pb, Zn, Au cevherleşmesi ve 1984 yılı arama çalışmaları. Etibank Raporu, 1985/3 (yayınlanmamış), 52 s.
- Einaudi, T. M., 1994,** High sulfidation and low sulfidation porphyry copper/skarn systems: Characteristics, continua and causes. Society of Economic Geologists International Exchange Lecture. Stanford University, California, USA.
- Hanelçi, Ş., Taşçı, İ., ve Söylemez, M., 1989,** Keban dere güneyi (Keban-Elazığ) skarn zonu cevherleşmesinin incelenmesi. Etibank Keban Maden Arama Müd. Ön Etüd Raporu. 11 s.
- Hanelçi, Ş., 1991,** Zeryan Dere-Siftıl Tepe (Keban-Elazığ) metalojenisinin incelenmesi. Doktora Tezi (yayınlanmamış), 200 s.
- Hanelçi, Ş., 1997,** Karamağara Dere magmatitlerinin jeokimyası ve cevherleşme ile ilişkisinin incelenmesi (Baskıda).
- Hanelçi, Ş., 1999,** Mineralogie und die Genese der Genese der Cu Vorkommen von Zeryan Dere deslagersstaetten distrikten Keban /Elazığ Osttürkei. Chemie der Erde (Baskıda).
- Kalender, L., 2000,** Keban Dere (Keban- Elazığ) Doğu Fırat Bölgesi Cu cavherleşmelerinin jeolojisi kökeni ve ekonomik önemi. F.U. Fen Bilimleri Enstitüsü. Doktora Tezi (Yayınlanmamış), 110 s.
- Kineş, T., 1969,** The geology and ore mineralization of the Keban area, eastern Turkey. Doktora tezi (yayınlanmamış), İ.Ü, 213 s.
- Kineş, T., 1971,** Vanadinit ve deklozit üzerine bir çalışma. TJK Bült. 14/2. 201-225.
- Kipman, E., 1976,** Kebanın Jeolojisi ve volkanitlerinin petrolojisi. Doçentlik Tezi. İst. Üniv. (yayınlanmamış).
- Kipman, E., 1982,** Keban volkanitlerinin petrolojisi. İst. Üniv. Yerbilimleri Derg., 3-4, 203-230.
- Köksoy, A., 1975,** Keban madeni dolayındaki jeokimsal sizıntı anomalileri. TJK Bült., 18, 5-2.
- Öztunalı, Ö., 1989,** Keban maden sahaları durum tespit raporları. 1985-89, (yayınlanmamış). Etibank Maden Arama Müdürlüğü. Ankara. 30 s.
- Perinçek, D., 1980,** Arabistan kıtası kuzeyindeki tektonik evrimin, kita üzerinde çökelen istifteki etkileri. Türkiye Beşinci Petrol Kongresi. Nisan, 77-93.

- Ramdohr, P., 1980,** The ore minerals and their intergrowths. 1-2, 1202, Berlin.
- Ulutan, B., 1987,** Etibank Raporu. Etibank Matbaası, 96-98, Ankara.
- Yazgan, E., 1983,** A Geotraverse between the Arabian Platform and the Munzur Nappes. Guide book for excursion V, 17pp. , Int. Symp. on the geology of the Taurus Belt., sep. 26-29, MTA . Enst. Ankara.

Makalenin geliş tarihi : 01.02.2001
Makalenin yayına kabul tarihi : 16.04.2001
Received : February 01, 2001
Accepted : April 16, 2001